

## PCケーブルにおける減摩剤注入の効果

国鉄盛岡工事局 (正) 森下忠司  
国鉄盛岡工事局 (正) 金森 真  
大成建設 KK (正) 金井莊次

### 1. まえがき

ポストテンションPC橋において、PCケーブルの本緊張に先立つて、試験緊張を行ひ摩擦係数を測定する。PC鋼材とシース間の摩擦が設計計算と想定した値の範囲を超え、所定の緊張力が導入できなくなつて判断された場合、ストレッチング、鋼材のさび落し等種々の対策が考えられるが、その内のひとつがシース内への減摩剤注入である。一般に減摩剤の効果の有無は摩擦係数を比較すればよいが、摩擦係数の算定には種々の仮定があり、ケースが違えば、その絶対値との比較は困難である。

今回、同一系統橋の同一形状のケーブルにおいて、減摩剤注入と注入しないケーブルの2種類のデータが得られたので、その結果をここに報告する。

### 2. PCケーブル

PCケーブル(VSL-E5-20)は図-1の通り7径間連続橋の中央部にほぼ対称形に配置されている。バウルレオノンハルト押出し工法による架設のため、押出し時交番施工用にPCケーブルとは別に橋軸方向直線的にSBPR<sup>95</sup>/10 #32 PC鋼棒が配置されている。減摩剤注入を必要とする程摩擦係数が大きくなつたのは、鋼材のさび、シース滑打ち等の施工不良が原因ではなく、設計計算でケーブルの平面的角変化を無視したものである。(図-2) 一般に、平面的角変化を無視して図-1のように、垂直方向のみの形状で計算してもその結果は入力ケーブル単位長さ当りの摩擦係数<sup>(2)</sup>に含まれる。と考えて緊張計算が行われる。このように計算しても鋼材量に余裕があれば、見かけ上全くケーブル単位曲げ角度当り摩擦係数が大きくなるだけで緊張管理上の問題は生じない。しかし、図-1のような曲げ角度の和Σα=20°のケーブルで緊張端平面的角変化量15°を無視すれば、当初設計で摩擦を小さく、つまり鋼材量を過少に見積もる結果になる。

従つて今回のようだ、設計時に確定している平面的角変化は、当初より考慮してみくのが安全側である。

### 3. 減摩剤注入

減摩剤注入は鋼材の腐食を防ぐために本緊張直前に施エ、方法はほぼグラウト注入に準じて電動グラウトポンプより注入する。減摩剤注入後緊張作業を行い、終

1. 工事名稱 東北幹山山線B1工事
2. 施主者名 日本国鉄道盛岡工事局
3. 工事場所 岩手県盛岡市夕照瀬町
4. 工程期間 東京起の 494±284M~494±588M
5. 工期 予定着工 昭和54年3月31日  
予定期工 昭和54年3月31日
6. 施工者名 大成建設株式会社仙台支店
7. 橋格 新幹線構造 N-18, P-19
8. 橋長 212 M
9. 橋幅 12.50 M
10. 桁重 2.20 M
11. 支間 29.460+21.000+30.000+23.38.000  
+32.000+30.480
12. 構造型式 ドミンジョン・プレモアレスト複線  
1箱型断面  
7径間連続橋
13. PC方式 VSL (インサイドケーブル方式)
14. 架設方法 ハツル・レインハルト押出し工法

表-1 工事概要

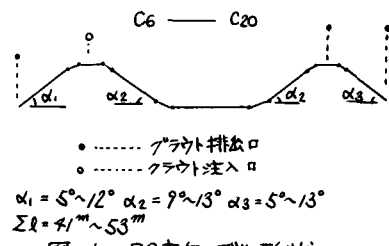


図-1 PC主ケーブル形状

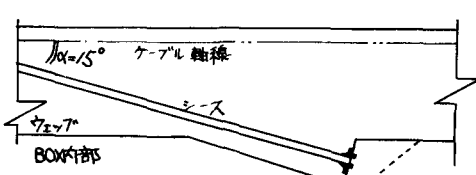


図-2 PCケーブル緊張端平面図

3後、シース内にグラウトポンプで水を注入し減摩剤を洗い濾してグラウトを施工する。

#### 4. 摩擦係数測定結果

PCケーブルの本緊張に際して、図-3のような緊張管理図を作製しケーブルの伸びと圧力計の読み(端部緊張力)にて管理する。鋼材のヤング係数 $E_p = 2.0 \times 10^6 \text{ kg/cm}^2$ 直線と緊張の軌跡との交差より引止め線である。この結果が表-2で、I群が減摩剤を使用しないハグレード、II群が減摩剤注入グレードである。減摩剤注入により $\mu$ の値が0.29から0.12に減少した。

#### 5. 考察と結論

図-3においてC18右ケーブルの緊張の軌跡は、 $E_p = 2.00 \times 10^6 \text{ kg/cm}^2$ 直線の $\mu = 0.00$ のままで交わり、減摩剤の効果により摩擦係数が極めて小さな事がわかる。この図で減摩剤を使用しなかったと仮定して、 $\mu = 0.29$ になるよう緊張の軌跡を描けば、直線のように引止め線( $E_p = 1.89 \times 10^6 \text{ kg/cm}^2$ )に至る以前に鋼材の強度から来る絶対上限線と交差する。つまり、C18右ケーブルでは減摩剤を使用しなければ既定の導入力を得ることはできず、この点から今回の減摩剤施工の有用性が認められる。

一方、減摩剤の効果を設計断面での導入力と比較するために、各ケーブル毎に $R$ 、 $\gamma$ 、 $\alpha$ を同一に、 $\mu$ のみをI群とII群で変えて( $\mu_I = 0.29$ とした)、I群とII群の $P_{\text{II}}/P_{\text{I}}$ の値を計算した。(表-2) 上記の値は減摩剤使用による、設計断面での導入力増加比率と考えられる。 $P_{\text{II}}/P_{\text{I}}$ は $1.05 \sim 1.23$ の値を示し、平均値は $1.16$ であるから減摩剤使用により設計断面での導入力は、平均 $1.16$ 倍になったと考えることができる。これにより何らかの理由で摩擦係数が大きくなり、設計断面での導入力不足量が $15\%$ 程度であれば、減摩剤注入が有効な方法であると結論できる。

#### 参考文献

- (1)橋田、齊藤; PC橋のプレストンジングと設計施工
- (2)G.D. Peck; Vorspannverhältnisse bei beliebig gekrümmtem Spanngelenk -durchlauf-

I 群	
ケーブル番号	$\mu_I$
C6 右	0.22
左	0.27
C7 右	0.25
左	0.27
C8 右	0.25
左	0.30
C9 右	0.30
左	0.29
C10 右	0.33
左	0.30
C11 右	0.32
左	0.35
平均	0.29

II 群		
ケーブル番号	$\mu_{\text{II}}$	$P_{\text{II}}/P_{\text{I}}$
C12 右	0.11	1.16
左	0.14	1.13
C13 右	0.01	1.23
左	0.11	1.17
C14 右	0.16	1.14
左	0.10	1.21
C15 右	0.20	1.07
左	0.22	1.05
C16 右	0.10	1.18
左	0.12	1.16
C17 右	0.11	1.20
左	0.16	1.15
C18 右	0.00	1.23
左	0.10	1.20
C19 右	0.14	1.19
左	0.14	1.19
C20 右	0.18	1.07
左	0.13	1.14
平均	0.12	1.16

表-2 (減摩剤注入ケーブル)  
摩擦係数 $\mu$ と導入力比 $P_{\text{II}}/P_{\text{I}}$

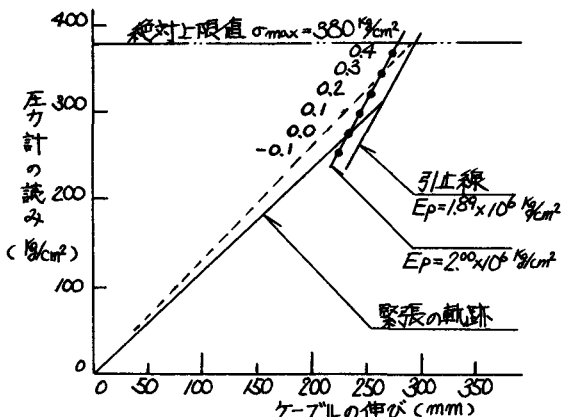
(参考) 基礎式

$$P_i = (1 + \gamma) \cdot e^{a\mu_i} \cdot P_j$$

$$\therefore \gamma =$$

$$\gamma = \sum \alpha + \frac{3}{4} \sum l, \quad P_j = P_t + \Delta P_j, \quad P_t: \text{端部導入力}$$

$$\gamma: \text{ジャッキ内部摩擦}, \quad \alpha: \text{ケーブル単位曲げ荷当たり摩擦係数}, \quad \lambda: \text{ケーブル単位長さ当たり摩擦係数}, \quad l: \text{ケーブル長(m)}, \quad P_t: \text{設計断面導入力(t)}, \quad \Delta P_j: \text{弹性変形損失(t)}$$



PCケーブルの緊張管理図(C18右)